2018年7月19-24日嘉義午後雷雨分析

1宋偉國、²石琦堅 1空軍航空技術學院 ²空軍氣象聯隊

摘要

本文選取2018年7月19-24日午後雷雨個案分析雷雨發生的條件,結果顯示雷雨發生之綜觀環流共有三波,第一波為7月19-20日颱風外圍環流;第二波為7月21-22日熱帶擾動;第三波為7月24日熱帶擾動。颱風與熱帶擾動提供水氣,有利於台灣地區對流產生,然而該三波對流系統均發生於午後,顯係午後局部地區環流對於雷雨發生亦有顯著影響。本文選用阿里山及中埔作為分析雷局部的有利條件之分析,結果顯示熱力條件並不足以完全解釋午後對流發生機制,語人分析,結果顯阿里山東北風二者造成風場輻合,可能是午後對流發生的激發機制。透過地面強風導致地面風往山區輻合,導致水氣舉升後,產生對流性雷雨。本文另外以閃電偵測系統評估雷雨伴隨豪雨的預報機制,結果類而當閃電次數突然顯著增加時,數十分鐘後即產生顯著降雨,顯示豪雨的預報可以透過閃電高解析度資料做預報。

關鍵字:對流系統、熱帶擾動、局部環流

1. 前言

雷雨發展常伴隨惡烈天氣現象,如:發 展濃厚龐大或巨塔的雲體、閃電與強烈垂直 氣流及其衍生超豪大雨等劇烈天氣現象,間 接影響飛行員對於航空器之操作,嚴重危害 到飛航安全。雷暴常發生於山區附近,山區 劇烈天候變化產生的飛安案例相當高(Baker & Lamb, 1989; Black & Mote, 2015; Grabowski et al., 2002; Kearney & Li, 2000; Ungs, 1995)。臺灣地區之夏季主要受 海洋性氣團控制, 白天由於日照增溫下, 常 導致局部地區空氣受熱而發生對流不穩定現 象。有關臺灣午後雷暴的發生和發展,在有 利環境場分析以及雷暴發展特徵已經有不錯 的基礎(戴等,2015;周等,2016;Akaeda et al. 1995; Chen et al. 1999; Chen and Chen 2003; Johnson and Bresch 1991; Jou 1994; Lin et al. 2011; Xu et al. 2012; Ruppert Jr. et al. 2013)。近年來臺灣全方位閃電 網閃電資料已顯示其發展潛力(戴等, 2016),能提供即時且高解析度觀測值,而數 值模式處理雷暴物理過程亦進展迅速,本文 針對嘉義地區進行雷暴系統分析,透過閃電

資料,可提供嘉義機場雷暴系統預報的參考。

2. 資料處理簡介

本文收集中央氣象局提供天氣圖、地面觀測資料、衛星雲圖,分析雷雨綜觀環境,另外,透過降雨量分析雷雨特性,本於逐時降雨量無法完全分析雷雨強度,本文透過閃電資料每十分鐘統計值,分析雷雨強度演變之特徵。閃電依據其放電的方式可以分為雲對地閃電(Cloud to Ground, CG)及雲中閃電(Intra-Clound, IC),此種類型的閃電占全部閃電的絕大部份,本文運用臺灣全方位閃電網(TTLN, Taiwan Total Lightning Network)的觀測資料,此系統由地面偵測到電磁脈衝現象後,再針對現象發生地點進行定位。

3. 雷雨發生條件與其特性分析

嘉義阿里山地理位置與2018年7月阿里山、嘉義市區地面測站降雨量顯示(圖1),7月16日起至7月25日均有降雨,阿里山降雨明顯比嘉義市區大,各日降雨量有差異,分別為7/19:191mm、7/20:66mm、7/21:7.5mm、7/22:27mm、7/23:8mm、7/24:11mm。其中以7月19日降雨

量最大,日累積雨量接近 200mm 豪雨程度,7月 20 日則降雨量減少至 70mm 左右,7月 21 日降雨更少,7月 22 日降雨略為增加,7月 23 日至 24 日降雨量亦不多。阿里山降雨多發生在午後,例如7月 19日,21日,24 日逐時降雨分布(圖 2),均發生在1200LST 以後,顯示除了綜觀天氣系統影響外,午後熱對流機制亦為重要因素。中埔地面測站亦顯示7月 19-24 日降雨均發生在午後(圖 2),然而7月 19 日降雨量最多,1600LST 降下 54mm 及 1700LST 降下21mm,唯此時降雨量僅達大雨而未達豪雨程度。

分析嘉義機場閃電資料顯示(圖3), 7月19日1350LST的雲中閃電 IC 達 39 次,之後迅速增加,到了1610LST增加到 IC 達 3000 次以上,顯示雷暴發展已達成 熟階段,而雲對地閃電 CG 也達 88 次。20 日的雲中閃電1620LST仍可達1800多次以 上,21日則雲中閃電已在500次以下,22 日雲中閃電更低,在200次以下,23日幾 無降水,故無閃電發生,24日雲中閃電又 恢復至最高約500次左右。透過嘉義機場 雲中閃電每十分鐘次數統計,顯示除了7 月23日無雷雨、7月22日雲中閃電每十 分鐘最大值低於 200 次以外,其餘7月 19-21 日雲中閃電均達 1800-3000 次左 右,此亦顯示阿里山與中埔地面測得之降 雨量為午後雷雨型態,而7月19日降雨最 大,雷雨發生次數也最高。另外,7月19 日中埔 1600LST 降雨量突然降下 54mm, 1500LST 則無降水, 阿里山則 1500LST 降 雨量 10mm, 1400LST 則無降水, 而雲中閃 電 1420LST 開始突然由 19 次增為 100 次, 當雲中閃電突然升高時,之後顯著降雨量 開始出現,顯示透過雲中閃電次數突然升 高的值,可以預報顯著降雨量即將發生。

分析 19-24 日綜觀環境對雷雨影響,衛星雲圖顯示 7月 19 日台灣南側出現

颱風安比(圖4),7月21日颱風已經北移, 但台灣南側海面仍有熱帶擾動系統。天氣 圖顯示7月19日位於鵝鑾鼻東南東方980 公里海面上的「安比」颱風(圖5),以每 小時 9 公里速度,向北北東進行,颱風在 台灣東側海面上,顯示颱風外圍環流是造 成當日顯著降雨因素。唯降水發生於午 後,顯示熱對流為降雨發生之激發機制。7 月20日0800LST颱風加強且逐漸北上,颱 風中心位在台灣東側海面上,7月20日 1400LST 颱風已迅速減弱,此時中埔降雨 量也比19日小很多,顯示除了午後對流激 發機制外,大尺度環流提供的水氣條件對 於台灣地區降雨多寡亦有顯著影響。 7月21日颱風已到日本南方海面上,但在 台灣南側海面上又出現低壓擾動,提供台 灣嘉義中埔等區午後熱對流有利機制。7 月22日颱風在大陸登岸,台灣仍在熱低壓 擾動範圍內,仍可誘發午後對流降水條 件。7月23日台灣已轉為弱綜觀天氣環 境,台灣降水不多。7月24日台灣南側又 開始出現熱帶擾動雲系,午後對流系統又

7月19日台灣明顯受到颱風外圍環流 影響,配合午後對流機制而有顯著降雨 外,7月20日颱風遠離,午後降水顯著減 小,7月21-22日台灣受熱帶低壓擾動影 響,午後降水又增強,7月23日轉為弱綜觀 天氣形態,台灣降水減少,7月24日又有熱 带擾動出現,午後降雨又再次增強。以7 月19-24日午後降雨這段期間而言,7月 19-20日為第一波降雨,主要是颱風外圍環 流影響。7月21-22日為第二波,為熱帶擾 動影響;7月24日為第三波降水,亦為熱帶 擾動影響。午後熱對流除了受到環境提供 的水氣外,也與熱力條件有相關,中埔地 形高度約155m,分析中埔地面溫度,以7 月21日為例(圖6),顯示午後溫度達30C以 上,但未達35C,中埔7月平均高溫也在30C 以上,但未必有午後對流發生,例如7月16 日該測站並無降水(圖略),溫度則在300 以上,顯然除了熱力條件外,風場對於對

再次轉強。

航空技術學院學報 第十九卷 第 76 - 82 頁(民國 109 年) Journal of Air Force Institute of Technology, Vol. 18., pp. 76-82, 2020

流發展亦須分析。

中埔在7月21日地面風速最強可達 5m/s以上(圖7),而7月16日風速則在2m/s 下。而比較中埔、水上機場、竹崎三個地 區7月21日風速逐時變化(圖8),亦顯示中 埔風速明顯高於其他地區,且風速最強時 段亦為降雨最強時段,顯然午後對流系的 亦受到地面強風速之影響。中埔與竹崎7 月21日降水量比較(圖9),顯示竹崎測站降 水比中埔低,風速亦比中埔低,顯示風速 對於降水多寡有重要影響。

4. 討論與結論

本文選取2018年7月19-24日午後雷雨 個案分析雷雨發生的條件,結果顯示雷雨 發生之綜觀環流共有三波,第一波為7月 19-20日颱風外圍環流;第二波為7月21-22 日熱帶擾動;第三波為7月24日熱帶擾動。 颱風與熱帶擾動提供水氣,有利於台灣地 區對流產生,然而該三波對流系統均發生 於午後,顯係午後局部地區環流對於雷雨 發生亦有顯著影響。本文選用阿里山及中 埔作為分析雷雨局部有利條件之分析,結 果顯示熱力條件並不足以完全解釋午後對 流發生機制,嘉義中埔地面強西北風,阿 里山則為東北風,此風場形成的輻合效 應,可能是午後對流發生的激發機制。透 過地面強風導致地面風往山區輻合, 導致 水氣舉升後,產生對流性雷雨。本文另外 以閃電偵測系統評估雷雨伴隨豪雨的預報 機制,結果顯示當閃電次數突然顯著增加 時,數十分鐘後即產生顯著降雨,顯示豪 雨的預報可以透過閃電高解析度資料做預

報,唯本研究僅以個案分析為主,後續須 做更多個案,並透過氣象數值模式驗證雷 雨發生機制及評估閃電偵測系統在豪雨預 報之可行性。

5. 參考文獻

戴志輝、王尹懋、王安翔及林博雄,2015: 雲中閃電資料應用於雷暴即時預警之 研究。大氣科學,43,115-132。

周仲島、高聿正、修榮光、鍾吉俊、李宗融、郭鴻基,2016:臺北都會區豪雨型午後雷暴的觀測特徵與預報挑戰: 2015年6月14日個案研究。大氣科學,44,1,57-81.

戴志輝、王尹懋、楊明仁、林博雄,2016 : 雲中閃電預警對流性降雨初探。大 氣科學,45,1,43-55.

Akaeda, K., J. Reisner, and D. Parsons,
1995: The role of mesoscale and to
pographically induced circulations ini
tiating a flash flood observed during
the TAMEX project. Mon. Wea. Re
v., 123, 1720-1739.

Ashley, W. S., Strader, S., Dziubla, D. C., & Haberlie, A. (2015). Driving blind:

Weather-related vision hazards and fatal motor vehicle crashes. Bulletin of the American Meteorological Society, 96, 755–778.

- Baker, S. P., & Lamb, M. W. (1989).Hazards of mountain flying: Crashes in the Colorado rockies. Aviation, Space, and Environmental Medicine, 66,522–527.
- Black, A. W., & Mote, T. L. (2015).

 Characteristics of
 winter-precipitation-related
 transportation fatalities in the United
 States. Weather, Climate, and Society, 7,
 133–145.
 doi:10.1175/WCAS-D-14-00011.1
- Chen, C.-S. and Y.-L. Chen, 2003: The rainfall characteristics of Taiwan. *Mon.*Wea. Rev., 131, 1323–1341.
- Chen, T. C., M. C. Yen, J. C. Hsieh, an d R. W. Arritt, 1999: Diurnal and s easonal variations of the rainfall me asured by the automatic rainfall and meteorological telemetry system in Taiwan. Bull. Amer. Meteor. Soc., 8 0, 2299-2312.
- Grabowski, J. G., Curriero, F. C., Baker, S.

 P., & Li, G. (2002). Exploratory spatial analysis of pilot fatality rates in general aviation crashes using geographic

- information systems. American Journal of Epidemiology, 155, 398–405.
- ISMAIL GULTEPE, R. SHARMAN, PAUL D. WILLIAMS, BINBIN ZHOU, G. ELLROD, P. MINNIS, S. TRIER, S. GRIFFIN, SEONG. S. YUM, B. GHARABAGHI, W. FELTZ,M. TEMIMI, ZHAOXIA PU, L. N. STORER, P. KNERINGER, M. J. WESTON, HUI-YA CHUANG, L. THOBOIS, A. P. DIMRI, S. J. DIETZ, GUTEMBERG B. FRANC, A, M. V. ALMEIDA, and F. L. ALBQUERQUE NETO, 2019: A Review of High Impact Weather for Aviation Meteorology Pure and **Applied Geophysics** 176(5):1869–1921 ·
- Johnson, R. H., and J. F. Bresch, 1991:

 Diagnosed Characteristics of

 Precipitation Systems over Taiwan
 during the May–June 1987 TAMEX.

 Mon. Wea. Rev., 119, 2540-2557. Jou,
 B. J.-D., 1994: Mountain-originated
 mesoscale precipitation system in
 northern Taiwan: A case study 21 June

1991. TAO, 5, 169-197.

Kearney, P. J., & Li, G. (2000). Geographic variations in crash risk of general aviation and air taxis. Aviation, Space, and Environmental Medicine, 71, 19–21.

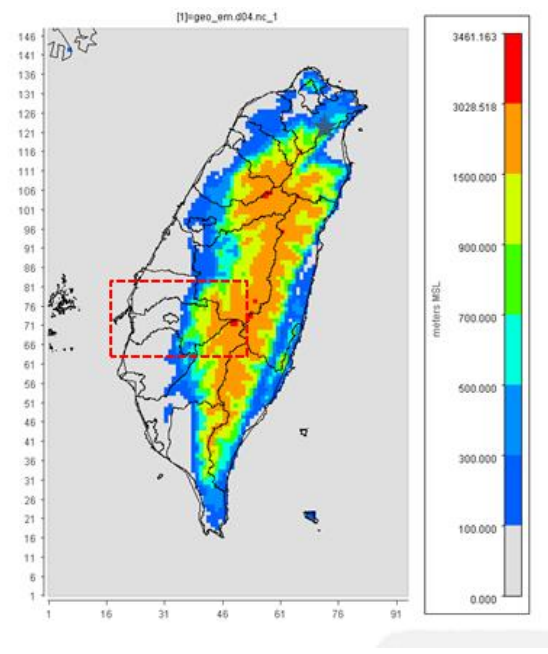
Lin, P. F., P. L. Chang, B. J.-D. Jou, J. Wilson, and R. Roberts, 2012: Objec tive prediction of warm season after noon thunderstorm in northern Taiwa n using a fuzzy logic approach. Wea . Forecasting, 27, 1178-1197.

Ruppert Jr. J. H., R. H. Johnson, and A. K. Rowe, 2013: Diurnal circulation s and rainfall in Taiwan during So WMEX/TiMREX (2008). Mon. Wea. Rev., 141, 3851-3872.

Ungs, T. J. (1995). Explanatory factors for the geographic distribution of US civil aviation mortality. Aviation, Space, and Environmental Medicine, 66, 522–527.

Xu, W., E. J. Zipser, Y. L. Chen, C. Liu
, Y. C. Liou, W. C. Lee, B. J.-D. J
ou, 2012: An orographyassociated ex
treme rainfall event during TiMREX:
Initiation, storm evolution, and mai

ntenance. Mon. Wea. Rev., 140, 255 5-2574.





圖la阿里山、嘉義中埔如紅色區域。

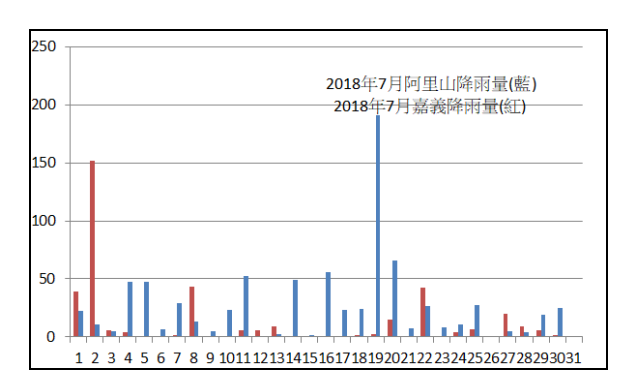
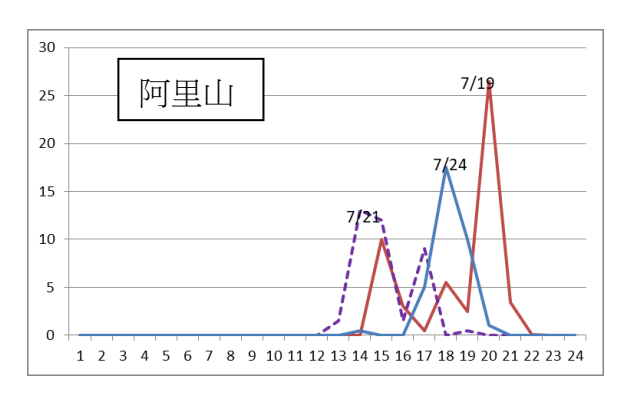


圖1b 2018年阿里山(藍色)、嘉義(紅色)7 月逐日降雨量(mm)



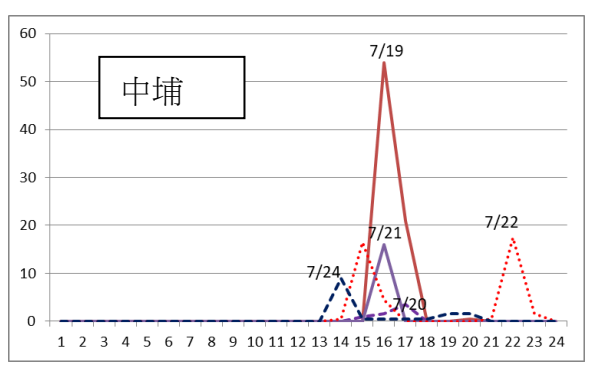


圖2 2018年7月19-24日阿里山與中埔降雨量逐時分布(mm)

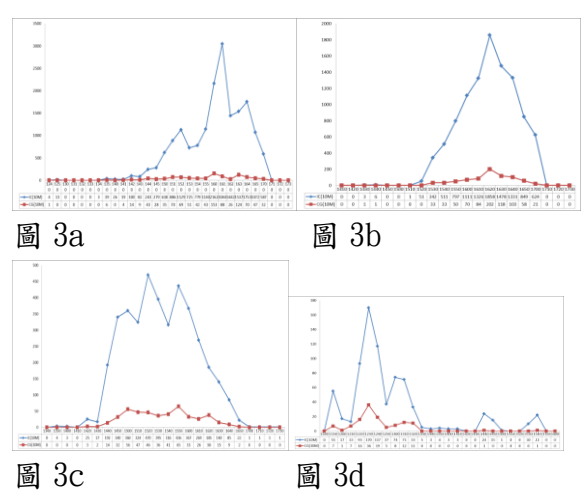


圖 3 2018 年 7 月(a)19(b)20(c)21(d)22 嘉義 閃電十分鐘累積逐時分布圖

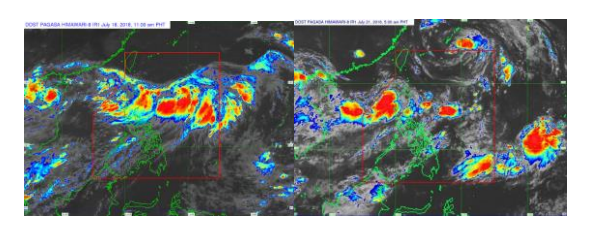


圖 4 2018 年 7 月 19 日與 7 月 21 日衛星雲 圖(引自 Satellite image of Tropical Storm Inday (Ampil). Image courtesy of PAGASA)

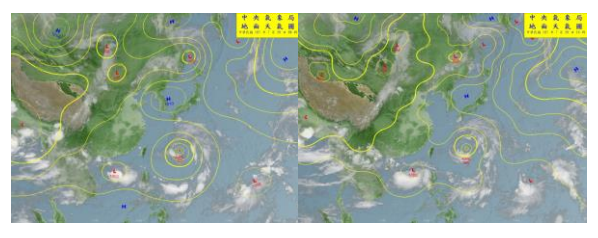


圖 5a 圖 5b

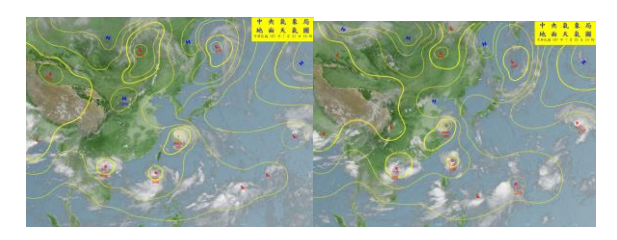


圖 5c 圖 5d



圖 5e 圖 5f

圖 5 2018年7月(a)20日 0800LST(b) 20日 1400LST(c) 21日 1400LST(d) 22日 1400LST(e)23日 1400LST(f) 24日 1400LST 地面天氣圖伴隨衛星雲圖

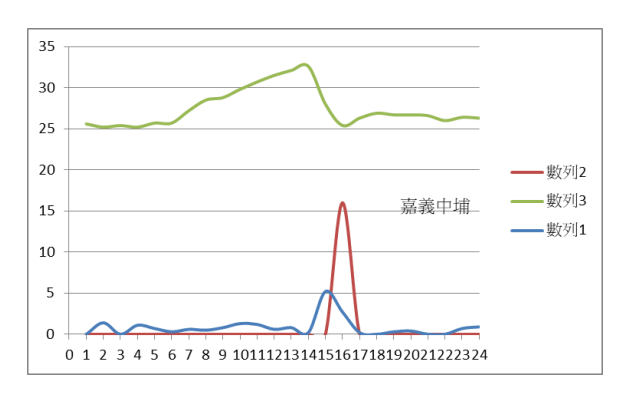


圖 6 2018 年 7 月 21 日嘉義中埔觀測資料。紅色為雨量(mm),藍色為風速(m/s), 綠色為氣溫(C)。

航空技術學院學報 第十九卷 第 76 - 82 頁(民國 109 年) Journal of Air Force Institute of Technology, Vol. 18,, pp. 76-82, 2020

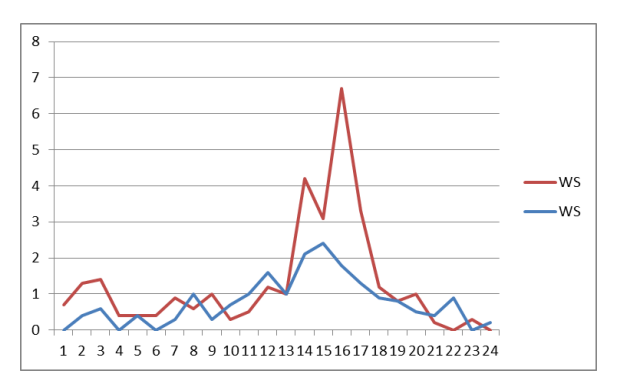


圖 7 2018 年 7 月 16 日(藍色)與 21 日(紅色)中埔地面風速(m/s)逐時分布。

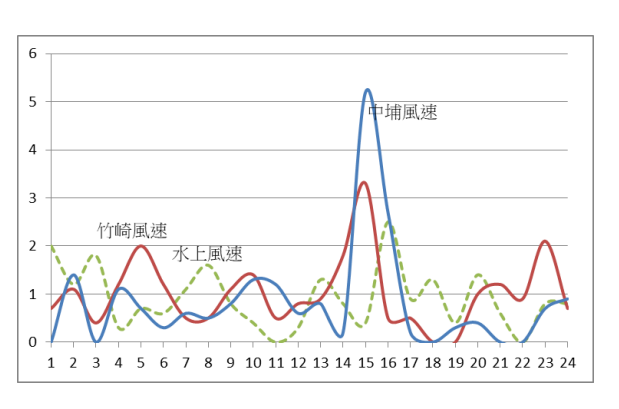


圖 8 2018 年 7 月 21 日嘉義中埔(藍色)、 竹崎(紅色)、水上(綠色)地面風速觀測資 料(m/s)。

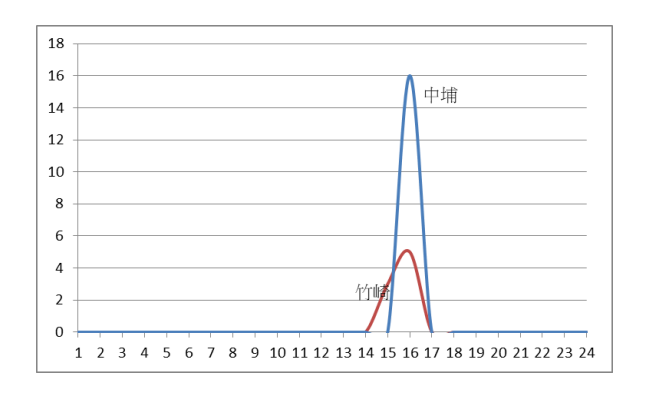


圖 9 2018 年 7 月 21 日嘉義中埔、竹崎地面降水觀測資料(mm)。紅色為竹崎,藍色為中埔。

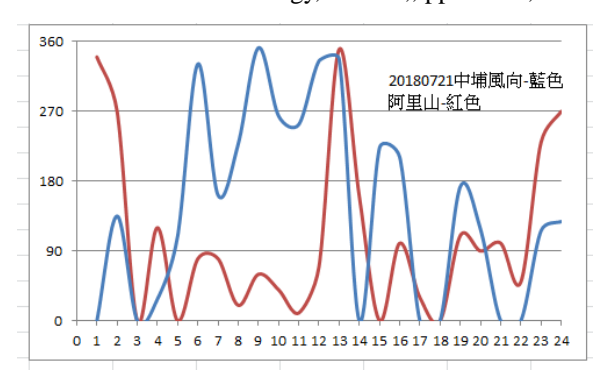


圖 10 2018 年 7 月 21 日嘉義中埔、阿里山 地面風向。紅色為阿里山,藍色為中埔。